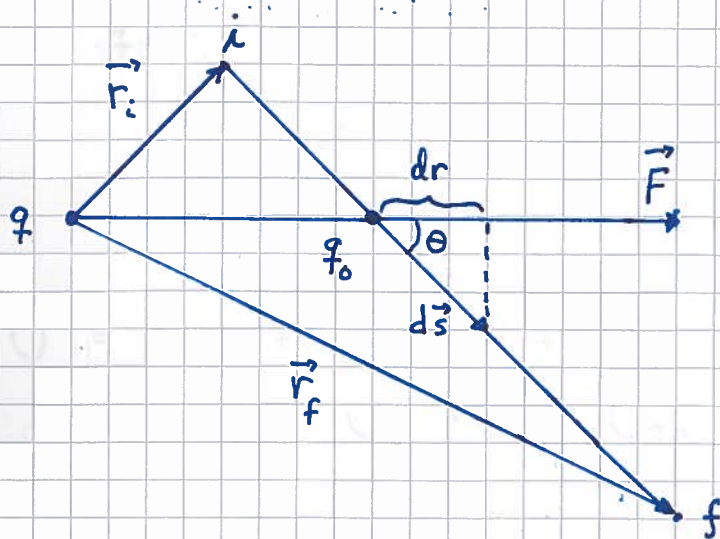


Potensiell energi og elektrisk potensial

[YF 23.1, 23.2]

Vi regner ut pot. energi for en testladning q_0 som befinner seg i \vec{E} -feltet fra en referanseladning q :



$$\vec{F} \cdot d\vec{s} = F \cdot ds \cdot \cos \theta \\ = F \cdot dr$$

$$\Delta U = U_f - U_i \stackrel{\text{def}}{=} - \int_i^f \vec{F} \cdot d\vec{s} = - \int_{r_i}^{r_f} F \cdot dr = - \frac{q q_0}{4\pi \epsilon_0} \int_{r_i}^{r_f} \frac{dr}{r^2}$$

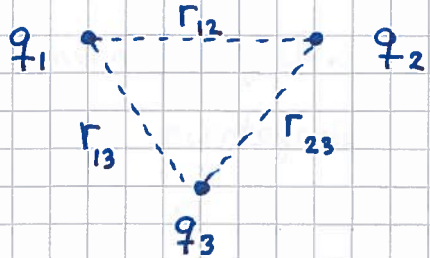
$$= \frac{q q_0}{4\pi \epsilon_0 r_f} - \frac{q q_0}{4\pi \epsilon_0 r_i}$$

Naturlig å velge $U = 0$ for $r \rightarrow \infty$.

Da har ladningsparet q og q_0 i innbyrdes avstand r sammen en pot. energi lik

$$U(r) = \frac{q q_0}{4\pi \epsilon_0 r}$$

Med flere ladninger : Alle ladningene i systemet vekselvirker parvis. Naturlig å velge $U=0$ med alle ladningene uendelig langt fra hverandre.



$$U_{ij} = \frac{q_i q_j}{4\pi \epsilon_0 r_{ij}}$$

$$\begin{aligned} U &= U_{12} + U_{13} + \dots + U_{1n} \\ &\quad + U_{23} + \dots + U_{2n} \\ &\quad \vdots \\ &\quad + U_{n-1,n} \end{aligned}$$

$$= \sum_{i=1}^n \sum_{\substack{j=1 \\ j \neq i}}^n U_{ij} = \sum_{i < j} U_{ij} = \underbrace{\sum_{i < j} \frac{q_i q_j}{4\pi \epsilon_0 r_{ij}}}$$

Vi definerer nå elektrisk potensial som pot. energi pr ladningsenhet :

$$V = \frac{U}{q_0}$$

$$\text{Enhet: } [V] = \frac{J}{C} = V \text{ (volt)}$$

Vi fant at $U = \frac{q q_0}{4\pi \epsilon_0 r}$ for ladn. par i avstand r .

Da kan vi konkludere med at en punktladning q omgir seg med potensialet

$$V(r) = \frac{q}{4\pi \epsilon_0 r}$$

Goulombpotensialet

Vi har: $\Delta U = - \int_i^f \vec{F} \cdot d\vec{s}$, $\vec{E} = \vec{F}/q_0$ og $V = U/q_0$.

Dermed:

$$\boxed{\Delta V = - \int_i^f \vec{E} \cdot d\vec{s}}$$

dvs potensialforskjellen mellom f og i, $\Delta V = V_f - V_i$, er gitt ved "veiintegralet" av \vec{E} .

Kraften \vec{F} er konservativ, så ΔU er uavhengig av veien fra i til f. Tilsvarende blir ΔV også uavh. av veien.

Vi ser nå at en alternativ enhet for el. feltstyrke må bli

$$[E] = V/m$$

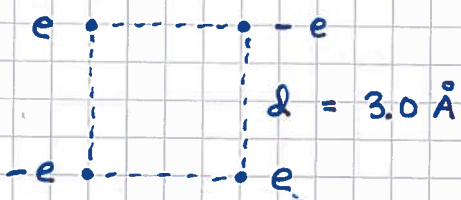
som er mer brukt enn J/C .

Videre kan vi innføre en alternativ, og mye brukt energienhet:

1 eV = 1 elektronvolt = endringen i pot. energi for en elementærladning ($q = e$) som flyttes fra posisjon i med potensial V_i til posisjon f med potensial $V_f = V_i + 1V$, dvs slik at $\Delta V = V_f - V_i = 1 V$.

$$1 \text{ eV} = 1 \cdot \underbrace{1.6 \cdot 10^{-19}}_e \text{ C} \cdot \underbrace{1 \text{ J/C}}_V = 1.6 \cdot 10^{-19} \text{ J}$$

Eks: Beregn U for følgende system:



Løsn: 6 ladningspar bidrar til total pot. energi $U = \sum_{i < j} U_{ij}$

$$U = \frac{e^2}{4\pi\epsilon_0 d} \left\{ -1 \cdot 4 + \frac{1}{\sqrt{2}} \cdot 2 \right\} = \frac{(\sqrt{2}-4)e^2}{4\pi\epsilon_0 d}$$

$$\approx 9 \cdot 10^9 \cdot \frac{(\sqrt{2}-4) \cdot 1.6 \cdot 10^{-19}}{3.0 \cdot 10^{-10}} \text{ eV} = \underline{\underline{-12 \text{ eV}}}$$

Dvs, 12 eV "mer stabilt" enn med øy avstand mellom alle fire.

Eks: To metallplater med plateavstand 1.0 mm, areal 200 cm² og ladning hhv +5.5 nC og -5.5 nC jevn fordelt.

- Hva er \vec{E} mellom platene? Utenfor platene?
 - Beregn potensialforskjellen (spenningen) mellom platene.
 - Skisser $E(x)$ og $V(x)$. ($x=0$ på pos. plate, $x=d$ på neg. plate.)
-

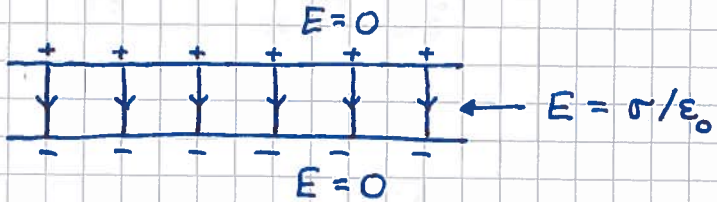
Løsn:

- Fra eks. s. 16-17: Felt fra stort og jevn ladet plan er $E = \sigma/2\epsilon_0$, med $\sigma = Q/A =$ ladningen pr flateenhet.

Retning: Bort fra pos. ladet plan, inn mot neg. ladet plan.



Mellan de to parallella platene blir dermed $E = 2 \cdot \frac{\sigma}{2\epsilon_0} = \frac{\sigma}{\epsilon_0}$, utenfor blir $E = 0$:



Her er $\sigma = Q/A = 5.5 \cdot 10^{-9} C / 200 \cdot 10^{-4} m^2 = 2.75 \cdot 10^{-7} C/m^2$
slik at mellom platene er

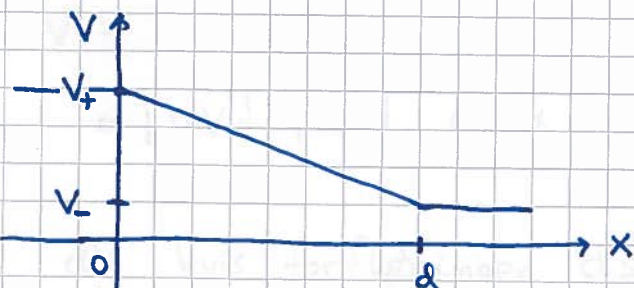
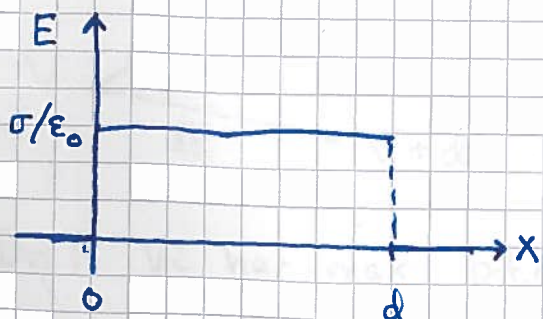
$$E = \sigma/\epsilon_0 = (2.75 \cdot 10^{-7} C/m^2) / (8.85 \cdot 10^{-12} C^2/Nm^2) = 31 \cdot 10^3 \frac{N}{C} = 31 \frac{kV}{m}$$

b) Med \vec{E} rettet fra pos. mot neg. plate:

$$\Delta V = V_+ - V_- = - \int_{(-)}^{(+)} \vec{E} \cdot d\vec{s} = \int_{(+)}^{(-)} E \cdot ds = E \cdot d \\ = 31 \text{ kV/m} \cdot 10^{-3} \text{ m} = \underline{\underline{31 \text{ V}}}$$

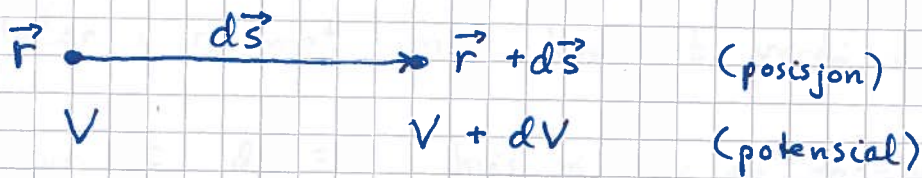
Høyest potensial på pos. plate, lavest pot. på neg. plate.
 \vec{E} retning mot lavere potensial.

c) Med $E = \text{konstant}$ mellom platene må $V(x)$ bli en lineært økende funksjon, fra V_+ på pos. plate til V_- på neg. plate; $E(x)$ blir ganske enkelt en konstant:



Utenfor platene er potensialet konstant, lik V_+ for $x < 0$ og V_- for $x > d$, fordi her er $E = 0$.

Beregning av \vec{E} fra V [YF 23.5]



$$\begin{aligned} dV &= \frac{\partial V}{\partial x} dx + \frac{\partial V}{\partial y} dy + \frac{\partial V}{\partial z} dz \\ &= \left(\hat{x} \frac{\partial V}{\partial x} + \hat{y} \frac{\partial V}{\partial y} + \hat{z} \frac{\partial V}{\partial z} \right) \cdot (\hat{x} dx + \hat{y} dy + \hat{z} dz) \\ &= \nabla V \cdot d\vec{s} \end{aligned}$$

↑ gradienten
til V

↑ veilelement

Fra før (s. 21) :

$$dV = -\vec{E} \cdot d\vec{s} = \text{potensialforskjellen mellom } \vec{r} + d\vec{s} \text{ og } \vec{r}$$

Dermed må vi ha:

$$\boxed{\vec{E} = -\nabla V}$$

Tolkning av ∇V :

Diagram illustrating the interpretation of the gradient ∇V . A point V is shown with a displacement vector $d\vec{s}$ pointing to a new position $V + dV$. The gradient vector ∇V is shown originating from V , making an angle α with $d\vec{s}$.

$$\begin{aligned} dV &= \nabla V \cdot d\vec{s} \\ &= |\nabla V| \cdot |d\vec{s}| \cdot \cos \alpha \end{aligned}$$

Dvs: Vi har max. pot.endring dV hvis forflytningen $d\vec{s}$ går i samme retning som ∇V (da er $\alpha=0$ og $\cos \alpha=1$)

Dvs: ∇V er vektor i retning max. økende V , med absoluttverdi lik endingen i V pr lengdeenhet, og samtidig lik $|\vec{E}|$

Ekipotensialflater

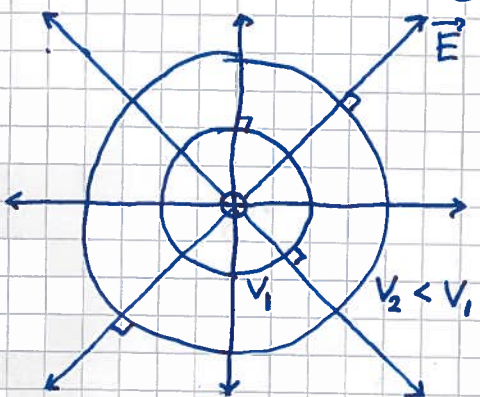
[YF 23,4]

= flater i rommet med konstant verdi av V

Det betyr at $\Delta V = 0$ hvis vi gjør en forflytning $d\vec{s}$ på (langs) en ekipotensialflate. Men da er også $\vec{E} \cdot d\vec{s} = 0$, dvs $\vec{E} \perp d\vec{s}$

$\Rightarrow \vec{E}$ står alltid normalt på ekipotensialflater

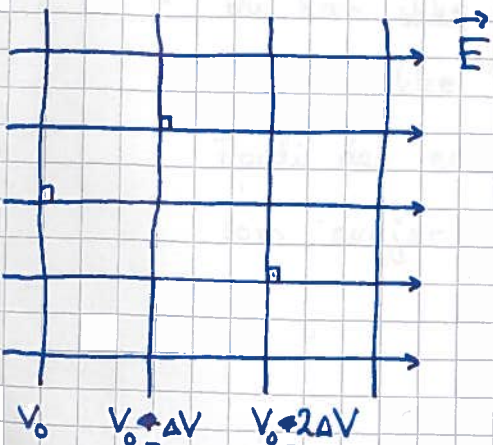
Eks 1: Punktladning



\vec{E} er rettet radieelt
↓

Ekipotensialflatene er kuleriskall

Eks 2: Uniformt \vec{E} - felt



Ekipotensialflatene er
plan $\perp \vec{E}$

Eks: Bestem \vec{E} når $V = V(z) = V_0 \cdot z/a$.

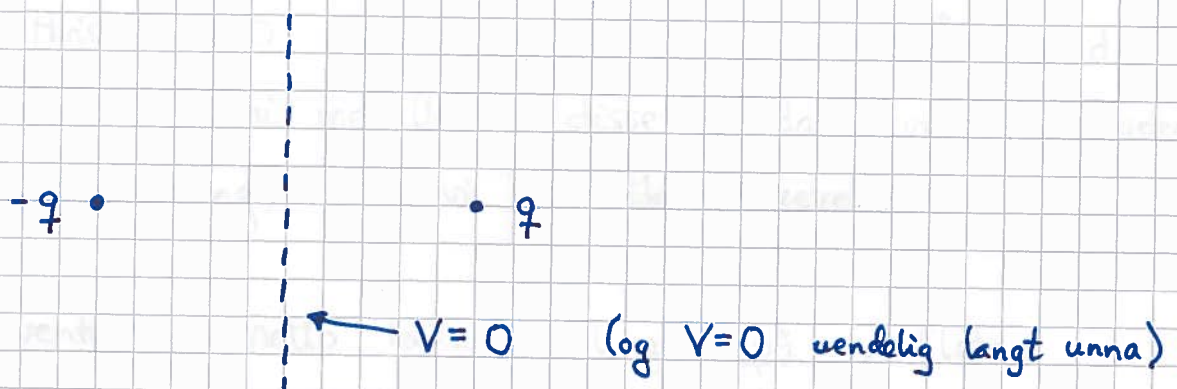
Løsn: Her er $\partial V / \partial x = \partial V / \partial y = 0$

$$\Rightarrow \vec{E} = -\hat{z} \frac{\partial V}{\partial z} = -\hat{z} \frac{V_0}{a}$$

dvs uniformt elektrisk felt som peker i negativ z -retning, med feltstyrke V_0/a .

Eks: Finn ekvipotensialflaten $V=0$ for en enkel dipol.

Løsn: Coulombpotensialet er $V(r) = q / 4\pi\epsilon_0 r$. Her har vi to punktladninger q og $-q$, slik at $V=0$ på steder med lik avstand til de to ladningene:



NB: Selv om $V=0$ i planet som "halverer" dipolen, betyr det generelt ikke at $\vec{E}=0$.

Du kan ikke resonnere slik: $\vec{E} = -\nabla V = -\nabla 0 = 0$

Hvorfor ikke?

Fordi det er hvordan V endrer seg i et område som avgjør hva \vec{E} blir!

Materialers elektriske egenskaper

Ledere

[YF 22.5]

Typisk metaller.

Metaller har frie ("mobile") elektroner, typisk ett (eller to) pr atom, som vil bevege seg hvis de utsettes for krefter, dvs et el. felt \vec{E} . Konsekvenser:

- $\vec{E} = 0$ inni metallet (vi antar her elektrostatisk likevekt!)
Bevis: Hvis $\vec{E} \neq 0$, virker en kraft $\vec{F} = -e\vec{E}$ på de frie elektronene inni metallet; disse vil da bevege seg (akselerere) i kraftens retning, dvs vi har ikke likevekt!
- All (eventuell) netto ladning ligger på overflaten av et metall
Bevises ved å bruke Gauss' lov; bare pensum hvis vi får tid. Det skyldes at $F(r) \sim 1/r^2$ (og ikke f.eks. som $1/r$)
- På metallets overflate står \vec{E} normalt på overflaten.
Bevis: Hvis $E_{||} \neq 0$, er $F_{||} = -eE_{||} \neq 0$, og frie elektroner (på overflaten) vil flytte seg til andre steder; dvs vi har ikke likevekt!

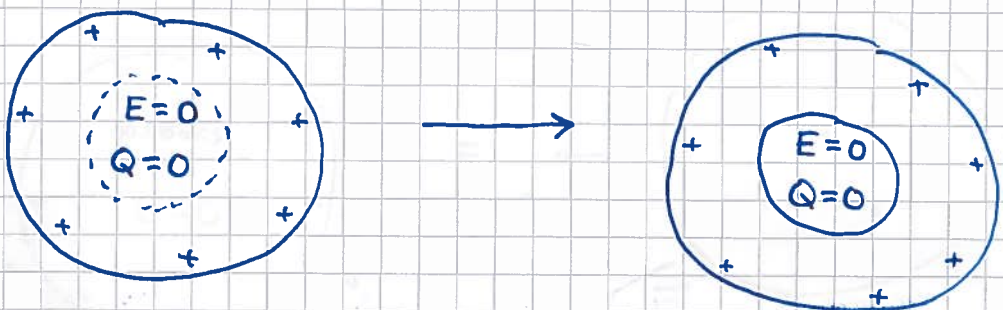
Hvis overflakeladning pr flateenhet er σ , er feltstyrken på overflaten σ/E_0 . Kan vises med Gauss' lov.

- En metallbit i likevekt er et ekvipotensial.

Bewis: Enhver forflytning $d\vec{s}$ inni metallet gir $dV = -\vec{E} \cdot d\vec{s} = 0$, da $\vec{E} = 0$. Tilsvarende på langs overflaten, for der er $\vec{E} \perp d\vec{s}$.

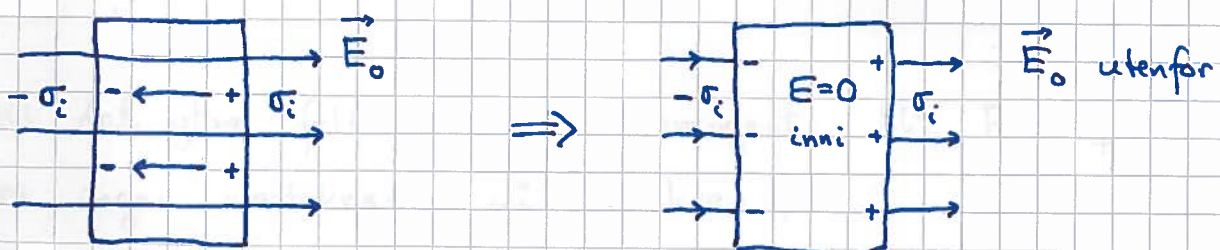
- Metallstykke med hulrom har $E=0$ i hulrommet og all nettoladning på ytre overflate.

Bewis: Forestill deg at du lager hulrommet ved å fjerne en elektrisk nøytral bit inne i et kompakt metallstykke:



Her fremdeles $E=0$ og $Q=0$ der hulrommet er, for ingenting er endret, sett fra et elektrostatisk synspunkt.

Metall i ytre felt \vec{E}_o :

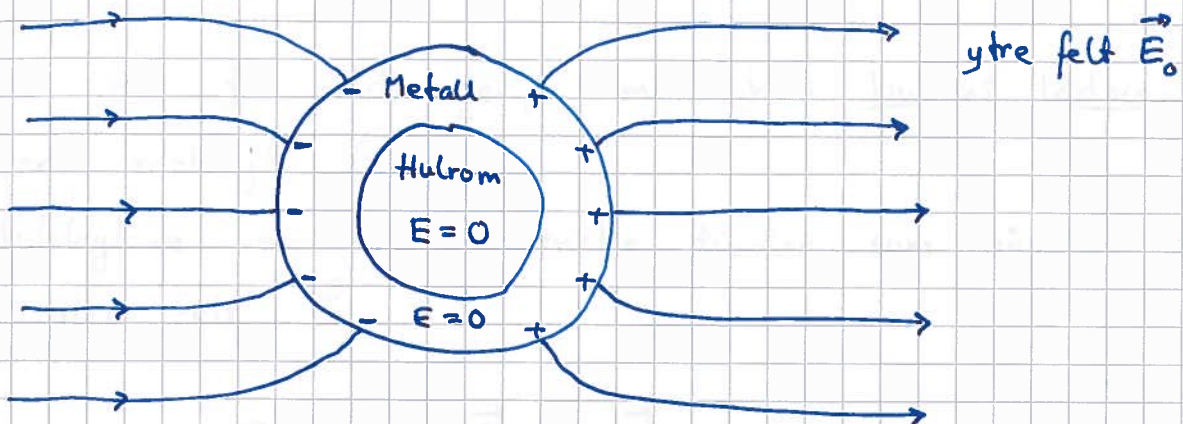


Ytre felt \vec{E}_o trekker frie elektroner i metallet til overflaten.

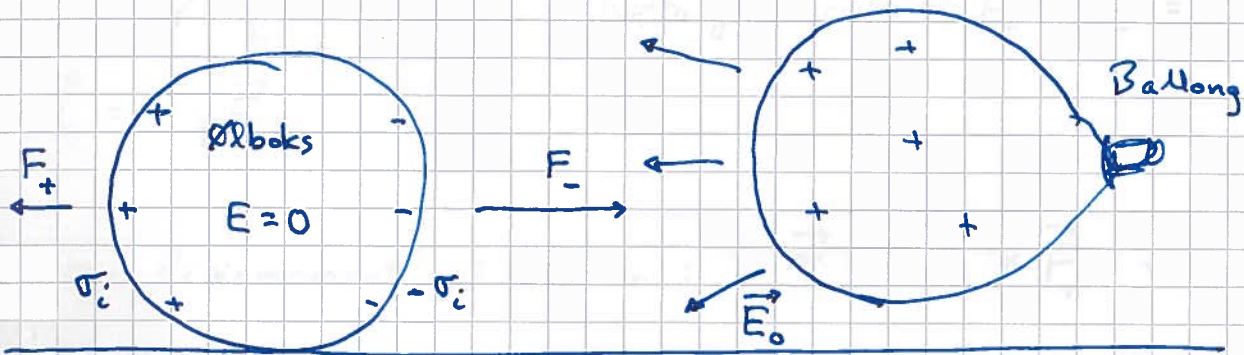
Vi får indusert ladning $\pm \sigma_i$ pr flateenhet, som resulterer i et indusert felt $\vec{E}_i = -\vec{E}_o$ inni metallet, slik at totalt felt $\vec{E} = \vec{E}_o + \vec{E}_i = 0$ inni metallet. Slik det må være i likevekt.

Elektrostatisk skjerming ; Faradaybur :

(29)



Metallboks i inhomogen ytre felt :



Netto tiltrekkende kraft ($F_- > F_+$) pga
kortere avstand mellom ballongen og den
negative induserte ladningen $-\sigma_i$ på ølboksen.

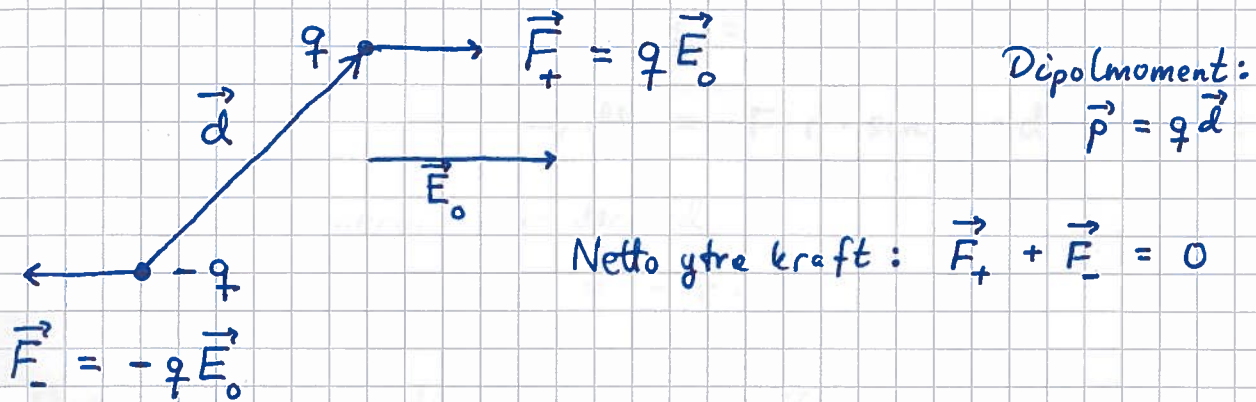
(Hvis det ytre feltet \vec{E}_o er homogen, blir $F_- = F_+$,
dvs ingen nettokraft på ølboksen.)

I solatorer (Dielektrika)

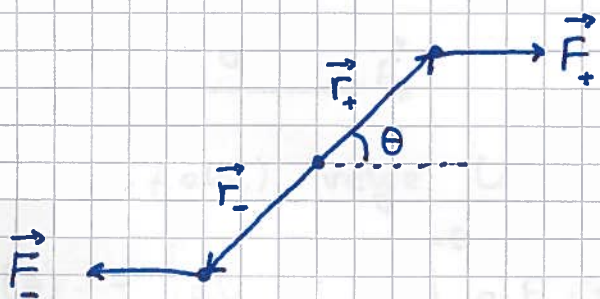
[YF 24.4-5]

Har ikke frie ladninger, men har bundet ladning på hvert molekyl (atom).

Molekylene er små elektriske dipoler som påvirkes av et ytre felt \vec{E}_0 :



Ytre dreiemoment på dipolen:



$$\vec{\tau} = \vec{r}_+ \times \vec{F}_+ + \vec{r}_- \times \vec{F}_-$$

$$= \vec{\tau}_+ + \vec{\tau}_-$$

Både $\vec{\tau}_+$ og $\vec{\tau}_-$ peker inn i planet. Gir rotasjon med klokka.

$$\tau_+ = \tau_- = \frac{d}{2} \cdot q E_0 \cdot \sin \theta$$

$$\Rightarrow |\tau| = q d \cdot E_0 \cdot \sin \theta = p \cdot E_0 \cdot \sin \theta$$

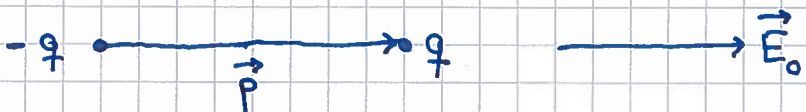
dvs

$$\boxed{\vec{\tau} = \vec{p} \times \vec{E}_0}$$

$$= -\vec{E}_0 \times \vec{p} = -p E_0 \sin \theta,$$

når positiv θ måles fra \vec{E}_0 til \vec{p}

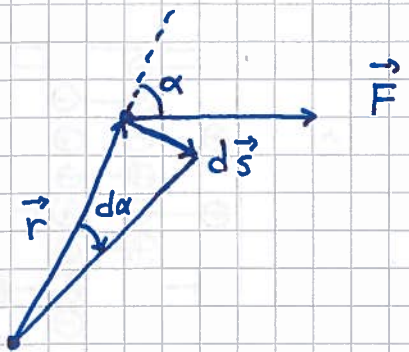
Molekulære dipoler rettes inn langs det ytre feltet:



Potensiell energi for dipol \vec{p} i ytre felt \vec{E}_0 :

(31)

Arbeid utført av \vec{F} ved rotasjon:



$$dW = \vec{F} \cdot d\vec{s}$$

$$= F \cdot ds \cdot \cos(\pi/2 - \alpha)$$

$$= F \cdot ds \cdot \sin \alpha$$

$$ds = r \cdot d\alpha$$

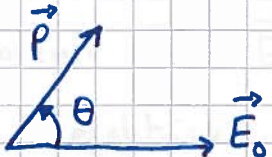
$$\Rightarrow dW = F \cdot r \cdot \sin \alpha \cdot d\alpha = \tau \cdot d\alpha$$

Endringen i pot. energi blir dermed

$$dU = -dW = -\tau \cdot d\alpha$$

Driekmomentet på dipolen var: $\tau = -p \cdot E_0 \cdot \sin \theta$,

med θ = vinkelen mellom ~~grader~~ \vec{E}_0 og \vec{p}



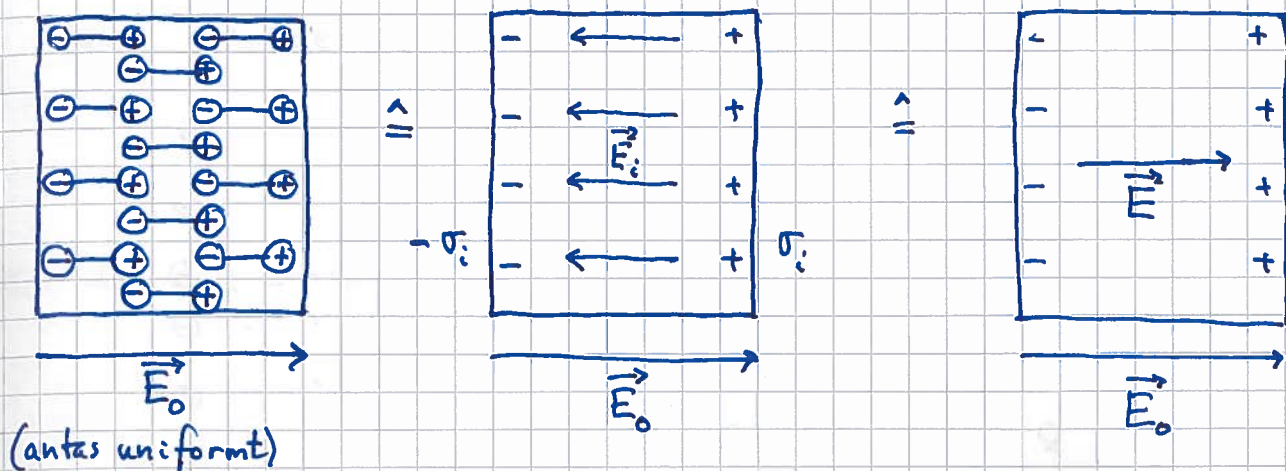
Vi kan (f.eks.) velge $U=0$ når $\theta = \frac{\pi}{2}$. Da får vi:

$$\begin{aligned} U(\theta) &= \int dU = + \int_{\pi/2}^{\theta} p \cdot E_0 \cdot \sin \theta \, d\theta \\ &= -p \cdot E_0 \Big|_{\pi/2}^{\theta} \cos \theta = -p E_0 \cos \theta \quad (\cos \pi/2 = 0) \\ &= -\underline{\underline{\vec{p} \cdot \vec{E}_0}} \end{aligned}$$

Dvs: Lavest U når $\theta = 0$; $U_{\min} = -p \cdot E_0$

Høyest U når $\theta = \pi$; $U_{\max} = +p \cdot E_0$

Innretting av svært mange molekylære dipoler langs det ytre feltet \vec{E}_0 gir en netto, makroskopisk effekt:



- Null netto ladning inni. Indusert ladning pr flateenhet $\pm \sigma_i$ på overflaten
- Indusert felt \vec{E}_i inni, motsatt rettet \vec{E}_0 , gir svekket totalfelt inni isolatoren: $\vec{E} = \vec{E}_0 + \vec{E}_i$; $|\vec{E}| = |\vec{E}_0| - |\vec{E}_i|$.
Hvis stor dielektrisk skive:
 $E_i = \sigma_i / \epsilon_0$ (a la eks s 22-23)
- Lineær respons: E_i blir prop. med E_0 , og dermed blir også E prop. med E_0
- Vi definerer isolatorens relative permittivitet ϵ_r :

$$E = \frac{1}{\epsilon_r} E_0$$

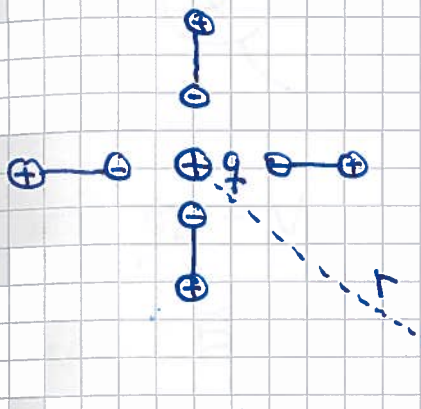
Enhet: $[\epsilon_r] = 1$

- Noen tallverdier:

ϵ_r	Vakuum	Terr luft	Plast	Rent vann	Perfekt metall
1	1.000 54	2-6	80	$(E=0)$	∞

- I isolatoren permittiviteten blir: $\epsilon = \epsilon_r \cdot \epsilon_0$

- Feltet fra en punktladning q sprekes inne i en isolator pga polarisering av materialet i feltet fra q :



$$E(r) = \frac{E_{\text{vak}}(r)}{\epsilon_r} = \frac{q}{4\pi\epsilon_0\epsilon_r r^2}$$

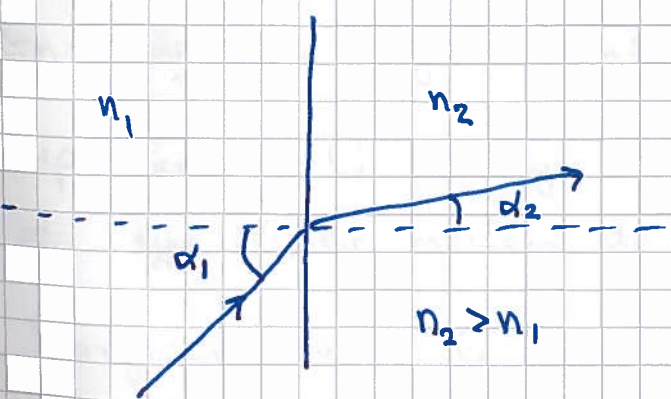
$$= \underline{\underline{\frac{q}{4\pi\epsilon r^2}}}$$

- Lysfarten: $c \approx 3 \cdot 10^8 \text{ m/s}$ i vakuum (299792 458 m/s)

I en isolator: $v = \frac{c}{\sqrt{\epsilon_r}} < c$ (da $\epsilon_r > 1$)

- Brytningsindeks: $n = \sqrt{\epsilon_r}$

Snells lov: $n_1 \sin \alpha_1 = n_2 \sin \alpha_2$



Synlig lys i vann:

n varierer mellom

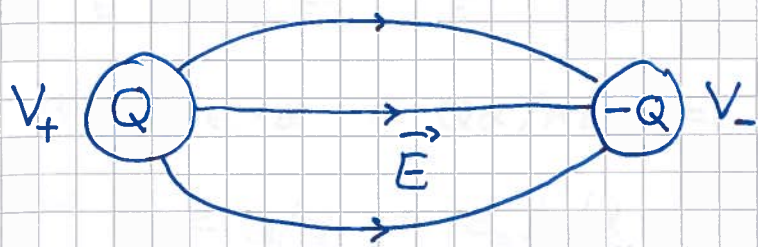
1.33 (rødt) og 1.35 (blått).

Gir bl.a. regnbuen!

Kondensator og kapasitans [YF 24]

34

En kondensator er rett og slett to ledere, adskilt med en isolator.



$$V = V_+ - V_- = - \int_{\text{surf}}^{(+) \text{ over}} \vec{E} \cdot d\vec{s}$$
 er prop. med Q ,

fordi \vec{E} er prop. med Q , pga Coulombs lov

Kondensatorens kapasitans er :

$$C \stackrel{\text{def}}{=} \frac{Q}{V}$$

- Enhet: $[C] = C/V = F$ (farad)
- Symbol i kretser:

- En kondensator lagrer ladning og energi
- Kapasitansen C avhenger av utforming (geometri) og type isolator mellom de to lederne
- Beregning av C :

Anta ladning $\pm Q$ på de to lederne

$$\text{Regn ut } V = V_+ - V_-$$

$$\text{Da er } C = Q/V$$

Eks 1: Luftfyld platekondensator; $C = ?$

Løsn: $E = \frac{\sigma}{\epsilon_0} = \frac{Q/A}{\epsilon_0}$ mellom platene

$$\Rightarrow V = E \cdot d = Qd/A\epsilon_0 = \text{pot. forskjellen mellom platene}$$

$$\Rightarrow C = Q/V = \frac{\epsilon_0 A/d}{}$$

Med f.eks. $A = 314 \text{ cm}^2$ og $d = 1.0 \text{ mm}$ blir

$$C = 8.85 \cdot 10^{-12} \cdot 314 \cdot 10^{-4} / 1.0 \cdot 10^{-3} = \underline{2.8 \cdot 10^{-10} \text{ F}}$$

Eks 2: Platekondensator fyldt med dielektrikum med rel. perm. ϵ_r ; $C = ?$

Løsn: $E = \frac{\sigma}{\epsilon} = \frac{\sigma}{\epsilon_r \epsilon_0} = \frac{Q/A}{\epsilon_r \epsilon_0}$

$$\Rightarrow V = Ed = Qd/A\epsilon_r \epsilon_0$$

$$\Rightarrow C = Q/V = \epsilon_r \epsilon_0 A/d$$

dvs en faktor ϵ_r større enn med luft

Hvis f.eks. $\epsilon_r = 5.5$ og A og d som i Eks 1:

$$C = 5.5 \cdot 2.8 \cdot 10^{-10} \text{ F} = \underline{1.5 \text{ nF}}$$



Enhet for ϵ_0 og ϵ :

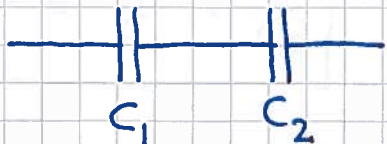
$$\text{Vi ser at } [\epsilon_0] = [\epsilon] = [C \cdot d/A] = \underline{F/m}$$

Kobling av flere kapasitanser [YF 24.2]

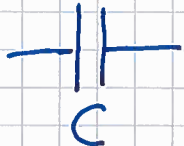
(36)

Seriekobling :

Hvis



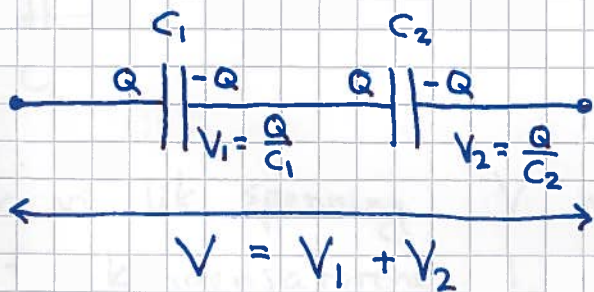
skal erstattes av



hva er da G ? Dette betyr at den ene G skal oppføre seg på samme måte som seriekoblingen av G_1 og G_2 .

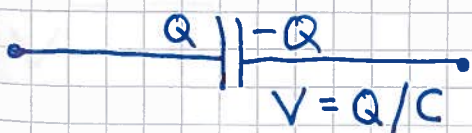
Vi starter med å innse at det må være lik ladning

$\pm Q$ på G_1 og G_2 hvis vi sørger for en total potensialforskjell $V = V_1 + V_2$ over seriekoblingen:



Hvorfor? Fordi det sammenhengende "metallstykket" i midten er elektrisk nøytralt i utgangspunktet.

Den ene "ekvivalente" kapasitansen G skal nå lagre like mye ladning, $\pm Q$, for en like stor potensialforskjell (spenning) V :



Da må vi ha:

$$\frac{Q}{C} = \frac{Q}{C_1} + \frac{Q}{C_2}$$

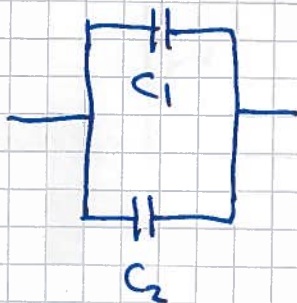
ders

$$\frac{1}{C} = \frac{1}{C_1} + \frac{1}{C_2}$$

Dette kan generaliseres til N kapasitanser koblet i serie:

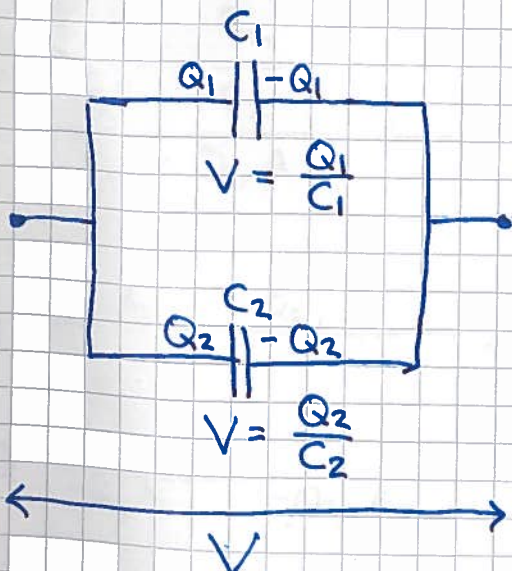
$$C^{-1} = \sum_{j=1}^N C_j^{-1}$$

Parallelkkobling:



erstattes av $\frac{1}{C}$; hva er da C ?

Her har vi lik spenning V mellom de to platene i de to kondensatorene 1 og 2:



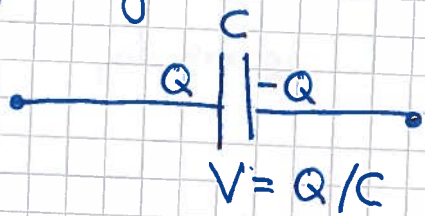
Samlet ladning lagret på 1 og 2:

$$Q = Q_1 + Q_2$$

$$Q_1 = C_1 V$$

$$Q_2 = C_2 V$$

Den ene C skal ha samme ladning med samme spenning:



$$Q = CV$$

Dermed: $CV = C_1 V + C_2 V$

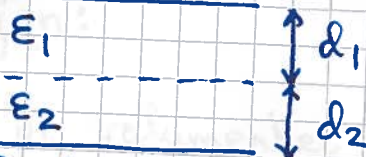
$$\Rightarrow \boxed{C = C_1 + C_2}$$

Øg med N stk koblet i parallel:

$$\boxed{C = \sum_{j=1}^N C_j}$$

Condensatorer fylt med ulike isolatorer er å betrakte som serie- eller parallellkobling av flere kapasitanser:

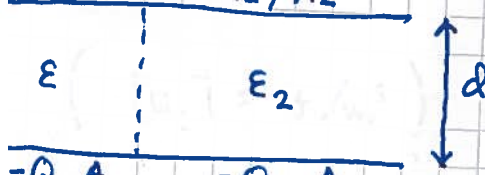
Q, A



$$\frac{1}{C} = \frac{1}{C_1} + \frac{1}{C_2} = \frac{d_1}{\epsilon_1 A} + \frac{d_2}{\epsilon_2 A}$$

(seriekobling)

Q₁, A₁ Q₂, A₂



$$C = C_1 + C_2 = \frac{\epsilon_1 A_1}{d} + \frac{\epsilon_2 A_2}{d}$$

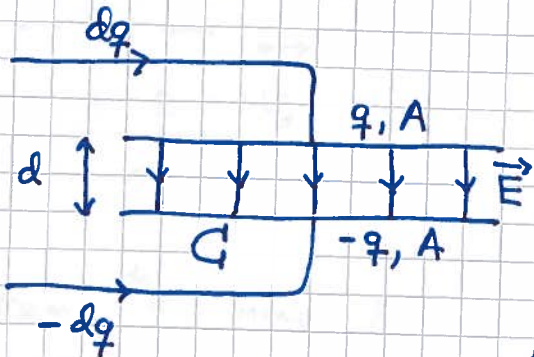
(parallellkobling)

Energi i elektrisk felt

[YF 24.3]

(39)

Opplasting av kondensator krever et arbeid W . "Tilført" arbeid W tilsvarer pot. energi U lagret i feltet \vec{E} mellom platene.



Økt ladning fra $\pm q$ til $\pm (q+dq)$ gir systemet økt pot. energi :

$$dU = v(q) dq = \frac{q}{C} dq$$

der $v(q) = q/C$ er spenningen mellom platene når de har ladning $\pm q$

Oppkalling fra $q=0$ til $q=Q$ gir i alt en pot. energi

$$U = \int dU = \int_0^Q q dq / C = Q^2 / 2C = (CV)^2 / 2C = \frac{1}{2} CV^2$$

Med $C = \epsilon_0 A/d$ og $V = E \cdot d$ får vi

$$U = \frac{1}{2} (\epsilon_0 A/d) \cdot (E d)^2 = \frac{1}{2} \epsilon_0 E^2 \cdot (Ad)$$

Si ser at $A \cdot d$ tilsvarer volumet mellom platene, dvs volumet i området der vi har $E \neq 0$.

Konklusjon:

Energi pr volumenhett "lagret" i et elektrisk felt er

$$u_E = \frac{1}{2} \epsilon_0 E^2$$

$$\left([u_E] = \text{J/m}^3 \right)$$

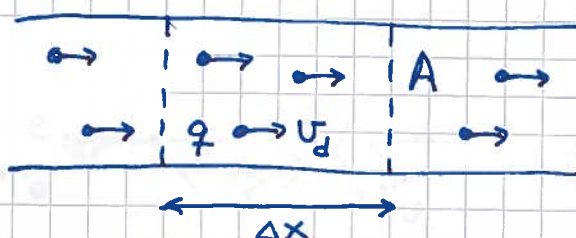
Elektrisk strøm

[YF 25, 26]

(40)

Strøm og strømtetthet

[YF 25.1]



Leder med n frie ladningene pr volumenhet.

v_d = middlere driftshastighet langs lederen

strøm $\stackrel{\text{def}}{=}$ mengde ladning som passerer tverrsnitt av lederen pr tidsenhet

$$I = \frac{\Delta Q}{\Delta t} \xrightarrow{\Delta t \rightarrow 0} \frac{dQ}{dt} ; [I] = \frac{C}{s} = A \text{ (ampere)}$$

På tid $\Delta t = \Delta x / v_d$ passerer all fri ladning i volumet $\Delta V = A \Delta x$ tverrsnittet med areal A ; $\Delta Q = q \cdot \Delta N = q \cdot n \cdot \Delta V = q n \Delta x A$

$$\Rightarrow I = \frac{q n \Delta x A}{\Delta x / v_d} = n q v_d A$$

strømtetthet $\stackrel{\text{def}}{=}$ strøm pr flateenhet

$$j = I/A ; [j] = A/m^2$$

$$\Rightarrow j = n q v_d , \text{ dvs } \vec{j} = n q \vec{v}_d$$

$$\text{Metall: } q = -e ; j = -nev_d$$

Merk:

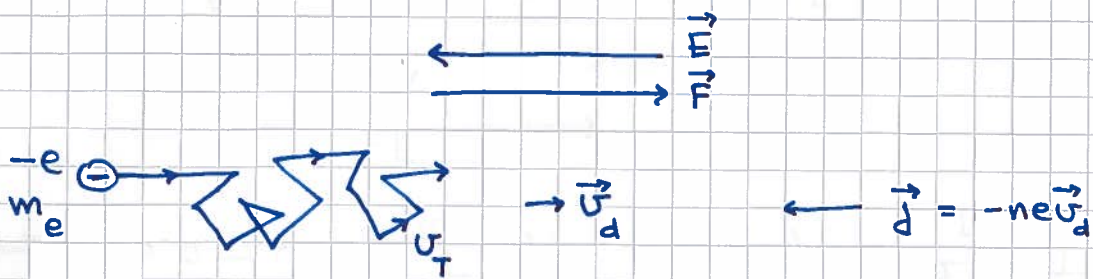


Ohms lov

[YF 25.2, 25.6]

(41)

Felt \vec{E} \Rightarrow Kraft $\vec{F} = -e\vec{E}$ som driver elektroner gjennom metallet:



δ = middlere avstand mellom kollisjoner (middlere fri veilegde)

$\tau = \delta/v_T =$ middlere tid ——————

$v_T =$ middlere elektronfart ved temp. T (termisk hastighet)

$\vec{v}_d = \vec{a} \cdot \tau = (-e\vec{E}/m_e)\tau =$ middlere driftshastighet

Dermed: $\vec{j} = \sigma \vec{E}$; $\sigma = ne^2 \tau / m_e$ Ohms lov (på mikroskopisk form)

(etter Paul Drude, ca 1900)

$\sigma =$ materialets konduktivitet,
ekt. elektrisk ledningsevne

Omtrentlige tallverdier:

Elektronenes middlere kinetiske energi, $K = \frac{1}{2}m_e v_T^2$, er prop.
med absolutt temperatur T ;

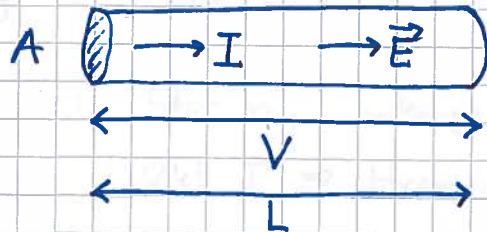
$$\frac{1}{2}m_e v_T^2 = \frac{3}{2}k_B T ; k_B = 1,38 \cdot 10^{-23} \text{ J/K} \quad (\text{Boltzmanns konstant})$$

$$\Rightarrow v_T = \sqrt{3k_B T / m_e} \sim 10^5 \text{ m/s ved } 300 \text{ K}$$

Til sammenligning er $v_d \sim 10^{-6} \text{ m/s}$ i en kobberledning
med $E \sim 1 \text{ mV/m}$; realistisk i en "typisk" elektrisk knets

Ohms lov på makroskopisk form (slik vi kjenner den) :

42



$$V = E \cdot L ; \quad j = \frac{I}{A} = \sigma E$$

$$\Rightarrow I = \sigma E A = \frac{\sigma A}{L} \cdot V \quad \Rightarrow V = \frac{1}{\sigma A} \cdot I = RI$$

dermed: Lederens motstand (resistans) er

$$R = \frac{L}{\sigma A}$$

Lederens konduktans G : $I = G \cdot V \Rightarrow G = \sigma A / L = 1/R$

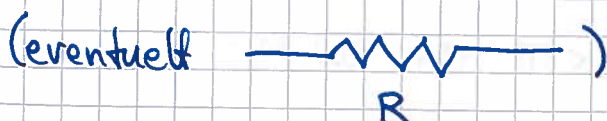
Materialets resistivitet σ : $\sigma = 1/g$

Enheter: $[R] = V/A = \Omega$ (ohm) ; $[G] = \frac{1}{\Omega} = S$ (siemens)

$[g] = \Omega \cdot m$; $[\sigma] = \Omega^{-1} m^{-1} = S/m$

Merk at σ og g er materialegenskaper (og temperatur-
avhengige). R og G er også avhengige av
Lederens utforming (lengde L og tverrsnitt A).

Symbol for en motstand i elektriske kretser:



Resistivitet og temperatur

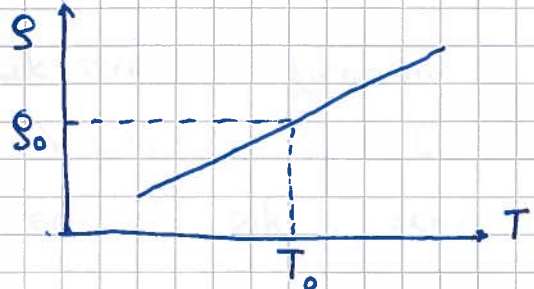
[YF 25.2]

(43)

$$g = \frac{m_e}{n e^2 \tau} \sim \frac{1}{n \tau}$$

Metall: Stor n , avhenger lite av T .

$\cancel{\otimes} kT \Rightarrow$ Hyppigere kollisjoner \Rightarrow Kortere $\tau \Rightarrow$ Større g



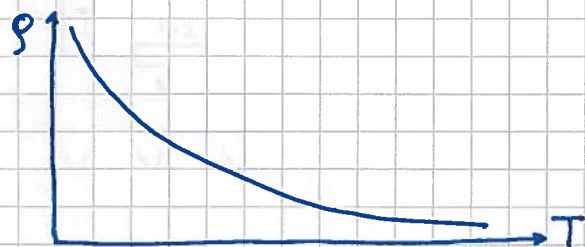
$$g(T) = g_0 \{ 1 + \alpha (T - T_0) \}$$

$$\alpha_{\text{Al}} \approx \alpha_{\text{Ag}} \approx \alpha_{\text{Au}} \approx 0.004 \text{ K}^{-1}$$

$$[T] = \text{K} \text{ (kelvin)}$$

Halvleder: Si, Ge, GaAs, GaN, ...

Isolator ($n \approx 0$) ved $T = 0$. $\cancel{\otimes} kT \Rightarrow$ Sterk økning i n
 $\Rightarrow g$ avtar med økende T



Mer om halvledere til høsten.

Superleder: $g = 0$ når $T < T_c$ = kritisk temperatur

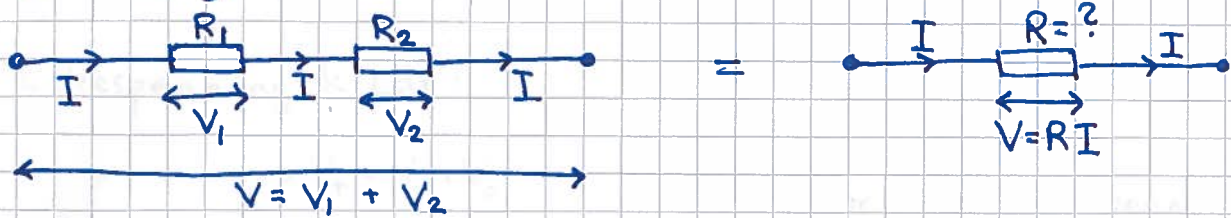
Metall når $T > T_c$

Kobling av flere motstander

(44)

[YF 26.1]

Seriekobling:



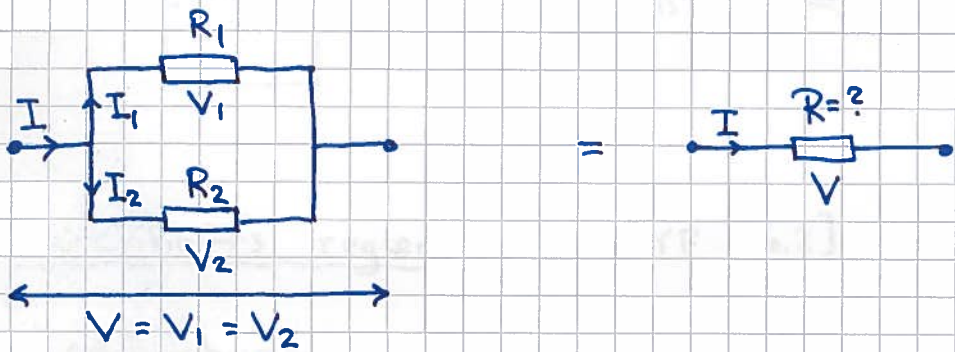
Lik strøm I gjennom R_1 og R_2

$$\Rightarrow V = V_1 + V_2 = R_1 I + R_2 I = RI \Rightarrow R = R_1 + R_2$$

Med N stk i serie:

$$R = \sum_{j=1}^N R_j$$

Parallelkkobling:



Lik spenning over R_1 og R_2

$$\Rightarrow I = I_1 + I_2 = V/R_1 + V/R_2 = V/R$$

$$\Rightarrow \frac{1}{R} = \frac{1}{R_1} + \frac{1}{R_2}$$

Med N stk i parallel:

$$R^{-1} = \sum_{j=1}^N R_j^{-1}$$

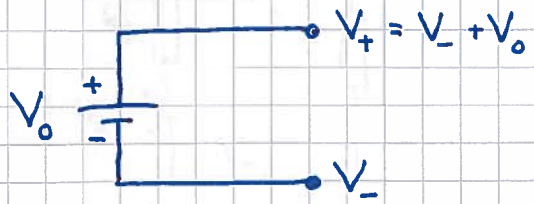
Likestrømkretser

[YF 26, 25]

(45)

(DC = direct current = likestrøm)

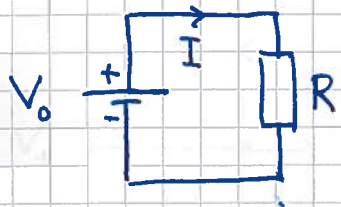
Likespenningskilde:



Sørger for konstant spenning (potensialforskjell) V_o mellom polene.

Eks: Kjemisk batteri. Solcelle. ...

Kobles til f.eks. en motstand R og gir lukket krets og strøm:



$$\text{Ohms lov} \Rightarrow V_o = RI \Rightarrow I = \frac{V_o}{R}$$

Kirchhoff's regler

[YF 26.2]

Ladningsbevarelse \Rightarrow

$$\sum_j I_j = 0 \quad i \text{ alle knutepunkt i en elektrisk krets}$$

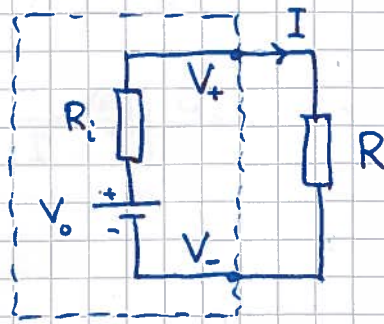
(K1)

Energibevarelse \Rightarrow

$$\sum \text{potensialendringer} = 0 \quad \text{mndt alle sløyfer i en elektrisk krets}$$

(K2)

Reelle spenningskilder har en indre motstand R_i
(som typisk blir større når batteriet går mot slutten) :



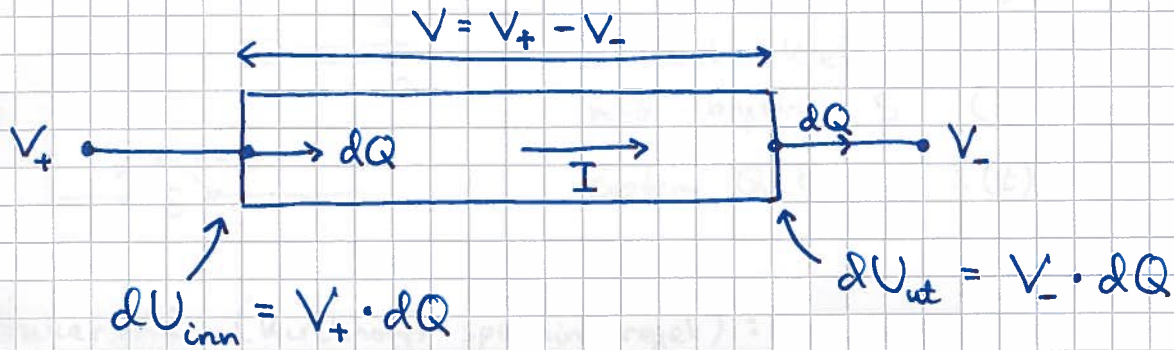
$$K2 : V_o - R_i I - RI = 0$$

$$\Rightarrow I = \frac{V_o}{R_i + R}$$

Spenningen over R ("ytre krets") er:

$$V_+ - V_- = V_o - R_i I < V_o \quad (\text{når } I > 0)$$

Elektrisk effekt [YF 25.5]



Elektrisk energi omdannes til varmeenergi pga kolleksjoner i lederbitten. Effekttap i lederbitten:

$$P = \frac{dU}{dt} = \frac{dU_{inn}}{dt} - \frac{dU_{ut}}{dt} = V_+ \frac{dQ}{dt} - V_- \frac{dQ}{dt}$$

$$= V \cdot \frac{dQ}{dt} = \underline{\underline{V \cdot I}}$$

Hvis lederen er en ohmsk motstand:

$$V = RI \Rightarrow P = RI^2 = \frac{V^2}{R}$$

RC-kretser

[YF 26.4]

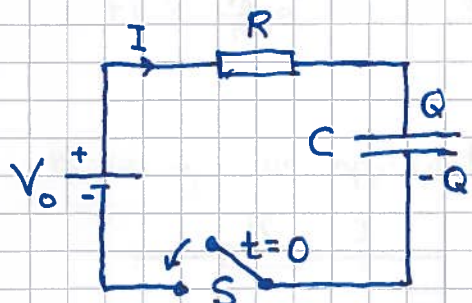
(47)



A circuit diagram showing a capacitor C with charge Q . The voltage across the capacitor is given by $V = \frac{Q}{C}$ and the current $I = \frac{dQ}{dt}$.

Velger positiv retning for I inn på platen
med ledning dQ ; da er $I = + dQ/dt$

Oppladning av kondensator i RC-krets:



- Før $t=0$ er $Q=0$ og $I=0$
- Vi lukker kretsen ved $t=0$ med bryteren S ("switch")
- Bestem $Q(t)$ og $I(t)$

Bruk K2 (Kirchhoffs spenningsregel):

$$V_0 - RI - Q/C = 0$$

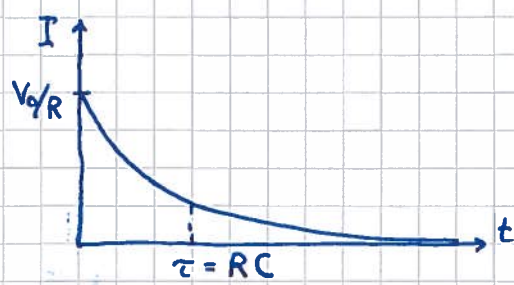
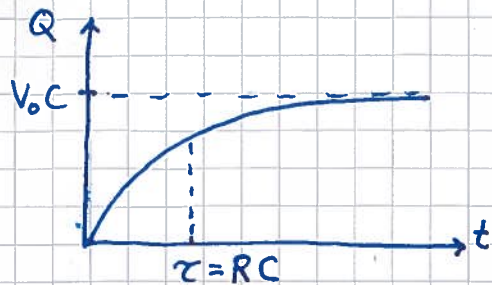
$$\Rightarrow V_0 C - RC \frac{dQ}{dt} - Q = 0$$

$$\Rightarrow -RC \frac{dQ}{dt} = Q - V_0 C$$

$$\Rightarrow \int_0^Q \frac{dQ}{Q - V_0 C} = - \int_0^t \frac{dt}{RC} \Rightarrow \ln \left\{ \frac{Q - V_0 C}{-V_0 C} \right\} = - \frac{t}{RC}$$

$$\Rightarrow Q(t) = V_0 C \left\{ 1 - e^{-t/RC} \right\}$$

$$\Rightarrow I(t) = \frac{V_0}{R} e^{-t/RC}$$



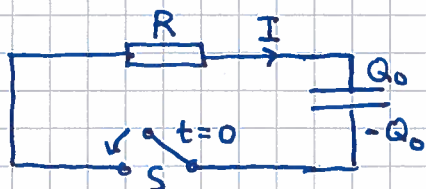
Produktet av R og C er kretsens tidskonstant : $\tau = RC$

Dette angir en typisk tid som det tar for opplasting (og utlasting) av kondensatoren i en RC-krets.

$$Q(\tau) = V_0 C (1 - e^{-1}) \approx 0.63 V_0 C ; \quad Q(3\tau) = V_0 C (1 - e^{-3}) \approx 0.95 V_0 C$$

$$I(\tau) = \frac{V_0}{R} e^{-1} \approx 0.37 V_0 / R ; \quad I(3\tau) = \frac{V_0}{R} e^{-3} \approx 0.05 V_0 / R$$

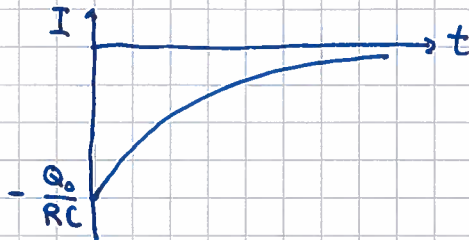
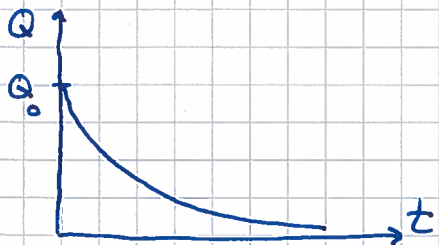
Utlading av oppladet kondensator :



- $Q(0) = Q_0$, $I(0) = 0$
- Krets lukkes ved $t=0$
- Finn $Q(t)$ og $I(t)$

$$K2 : -\frac{Q}{C} - R \frac{dQ}{dt} = 0 \Rightarrow \dots \Rightarrow \int_{Q_0}^Q \frac{dQ}{Q} = - \int_0^t \frac{dt}{RC}$$

$$\Rightarrow Q(t) = Q_0 e^{-t/RC} ; \quad I(t) = -\frac{Q_0}{RC} e^{-t/RC}$$



Anvendelser : Blinklys, Pacemaker, Blitz, Likerettere ($AC \rightarrow DC$),